

## Wiederholung des Stoffs der letzten Vorlesung

2 Prozesse vorherrschend beim Durchgang schwerer geladener Teilchen durch Materie:

- Energieverlust durch Anregung und Ionisierung der Atome des Materials,
  - Ablenkung durch elastische Streuung an den Atomkernen im Material.
- Schwere Teilchen;  $\mu^+$ ,  $\pi^+$ ,  $p$ ,  $\alpha$ , leichte Kerne.

## Energieverlust von Elektronen und Positronen

$m_e$  so klein, dass die Beschleunigung, die Elektronen bzw. Positronen in Stößen an den Atomkernen erfahren, so groß wird, dass Bremsquanten abgestrahlt werden können.

$$\Rightarrow \left. \frac{dE}{dx} \right|_{e^\pm} = \left. \frac{dE}{dx} \right|_{\text{Stöße}} + \left. \frac{dE}{dx} \right|_{\text{Bremsstrahlung}}$$

↑  
Energieverlust durch Anregung und Ionisierung von Atomen:

Bethe-Bloch-Formel mit Abwandlungen, die berücksichtigen, dass die Elektronen in den Stößen an atomaren Elektronen abgelenkt werden und dass das eslaufende Elektron mit dem atomaren Elektron ununterscheidbar ist.

## Bremsstrahlung

Strahlungsfeld einer beschleunigten Ladung  $\propto a_{\text{Ladung}}$

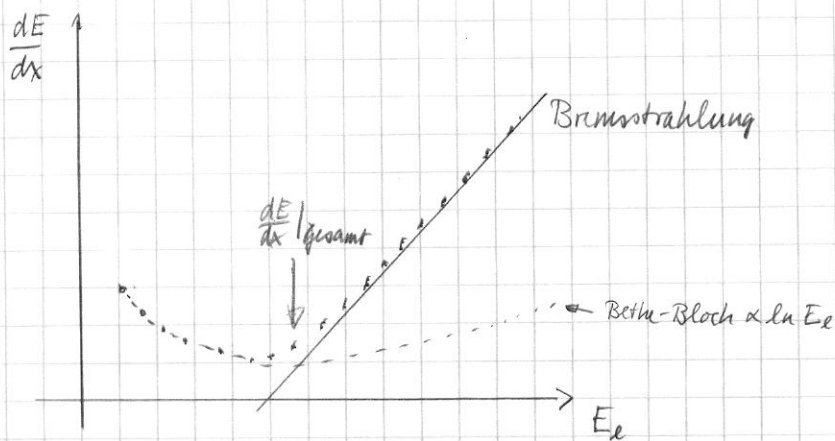
Abgestrahlte Energie  $\propto |\text{Feld}|^2 \propto a_{\text{Ladung}}^2 = \left(\frac{F}{m}\right)^2 \propto \frac{1}{m^2}$

D.h. Bremsstrahlung bei schweren geladenen Teilchen anders als bei Elektronen gering.

$$-\left. \frac{dE}{dx} \right|_{\text{Bremsstrahlung}} = N E_e \phi_{\text{Strahlung}} \cdot \text{materialabhängiger Faktor}$$

Anzahl der Atome pro Volumen  
↓  
 $N$   
Elektronenenergie  
↑  
 $E_e$   
materialabhängiger Faktor  
←  
 $\phi_{\text{Strahlung}}$

⇒ Linearer Anstieg mit wachsender Elektronenenergie



### Kritische Energie $E_k$

$$\left. \frac{dE}{dx} \right|_{\text{Stöße}} (E_k) = \left. \frac{dE}{dx} \right|_{\text{Bremsstrahlung}} (E_k)$$

$$E_k \approx \frac{800 \text{ MeV}}{Z + \frac{1}{2}} \Rightarrow \text{Bremsstrahlung für } E_e > 1 \text{ GeV} \text{ dominant.}$$

### Strahlungslänge $X_0$

$$-\left. \frac{dE}{dx} \right|_{\text{Bremsstrahlung}} = N E_e \phi_{\text{Strahlung}}$$

also

$$E_e(x) = E_e(0) e^{-\frac{x}{X_0}}$$

### Wechselwirkung von Photonen mit Materie

#### Hauptprozesse:

1. Photoelektrischer Effekt.
2. Comptonstreuung.
3.  $e^+e^-$ -Paarerzeugung.

$\Rightarrow$  Ein Photonenstrahl verliert beim Durchgang durch Materie nicht an Energie, sondern Intensität, da alle drei Prozesse Photonen aus dem Strahl entfernen.

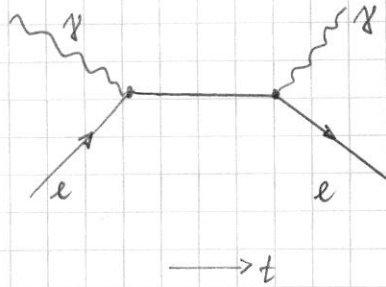
#### 1. Photoelektrischer Effekt

Absorption eines Photons durch ein atomares Elektron.

$$E_e = h\nu_{\gamma} - \text{Bindungsenergie des Elektrons.}$$

## 2. Comptonstreuung

Streuung eines Photons an einem Elektron.



## 3. $e^+e^-$ -Paarerzeugung

$\gamma \rightarrow e^+e^-$  wegen Energie- und Impulserhaltung nur möglich, wenn ein dritter Körper, also zum Beispiel ein Atomkern des Materials beteiligt ist, auf das das Photon trifft.

$$\Rightarrow m_{\gamma, \min} = 2m_e,$$

Wahrscheinlichkeit für Paarerzeugung  $\propto Z^2$  ( $Z$ : Ordnungszahl des Materials)

Wahrscheinlichkeit für Paarerzeugung nach Strecke  $x \propto e^{-\frac{x}{\lambda_{\text{Paar}}}}$ .

$$\lambda_{\text{Paar}} \approx \frac{9}{7} X_0.$$

## Bedeutung der drei Prozesse bei verschiedenen Photonenenergien

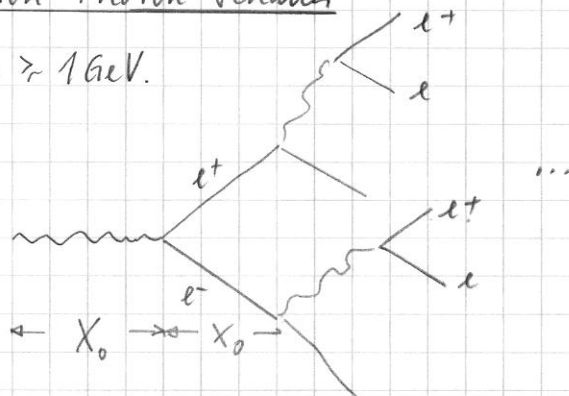
$E_\gamma \sim \text{keV}$ : photoelektrischer Effekt dominant.

$E_\gamma \sim \text{MeV}$ : Comptonstreuung dominant.

$E_\gamma \gtrsim 10 \text{ MeV}$ : Paarerzeugung dominant.

## Elektron-Photon-Schauer

$$E_\gamma \gtrsim 1 \text{ GeV.}$$



Nach der Strecke  $n \cdot X_0$ :  $2^n$  Teilchen mit  $E_n \approx \frac{E_Y}{2^n}$ .

Ende der Kaskade (des Schauers), wenn  $E_n = E_k$ .

$$E_k = \frac{E_Y}{2^n} \Leftrightarrow n = \frac{\ln \frac{E_Y}{E_k}}{\ln 2}$$

$$\text{Länge des Schauers: } n \cdot X_0 = X_0 \cdot \frac{\ln \frac{E_Y}{E_k}}{\ln 2}$$

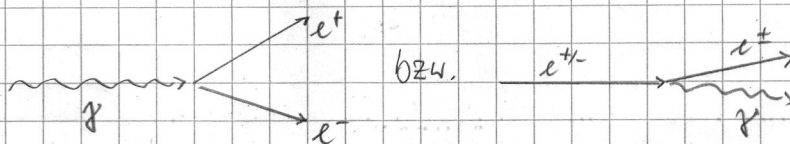
Beispiel:  $E_Y = 100 \text{ GeV}$ .

Einen:  $X_0 \approx 2 \text{ cm}$ ,  $E_k \approx 20 \text{ MeV}$ .

$n = 12$ , d.h.  $\sim 4000$  Teilchen.

Schauerlänge:  $L_{\text{longitudinal}} \approx 24 \text{ cm}$ .

Ausdehnung des Schauers senkrecht zur Ausbreitungsrichtung



Kinematik in der Näherung masseloser Teilchen.

Anfangszustand

Endzustand

$$P_A = (E_A, \underbrace{0, 0}_{\vec{P}_A}, E_A)$$

$$P_1 = (E_1, P_{1,\perp}, 0, P_{1,\parallel}), P_2 = (E_2, P_{2,\perp}, 0, P_{2,\parallel})$$

$$P_1^2 = 0 = P_2^2, \text{ also } E_{A2} = \sqrt{P_{A2,\perp}^2 + P_{A2,\parallel}^2}$$

$$P_A = P_1 + P_2$$

$$\text{Also gilt: } P_{1,\perp} + P_{2,\perp} = 0 \Leftrightarrow P_{2,\perp} = -P_{1,\perp}$$

$$E_A = P_{1,\parallel} + P_{2,\parallel} \Leftrightarrow P_{2,\parallel} = E_A - P_{1,\parallel}$$

$$E_A = E_1 + E_2 \Leftrightarrow E_A - E_1 = E_2 = \sqrt{P_{2,\parallel}^2 + P_{2,\perp}^2} = \sqrt{(E_A - P_{1,\parallel})^2 + P_{1,\perp}^2}$$

$$\text{D.h. } (E_A - E_1)^2 = (E_A - P_{1,\parallel})^2 + P_{1,\perp}^2$$

$$\Leftrightarrow E_A^2 - 2E_A E_1 + E_1^2 = E_A^2 - 2E_A P_{1,\parallel} + P_{1,\parallel}^2 + P_{1,\perp}^2 = E_A^2 - 2E_A P_{1,\parallel} + E_1^2$$

$$\Leftrightarrow \underline{E_1 = P_{1,\parallel} \Rightarrow P_{1,\perp} = 0 = P_{2,\perp}}$$

D.h. im Grenzfall masseloser Teilchen hat der Schauer immer dieselbe transversale Ausdehnung 0 unabhängig von  $E_Y$ .

Die volle Behandlung mit massiven Elektronen und Protonen ergibt folgendes Ergebnis:

Mottieradius

$$L_{\perp} \approx 4 \cdot R_H = 4 X_0 \cdot \frac{21,2 \text{ MeV}}{E_K}$$

$\Rightarrow$   $L_{\perp}$  unabhängig von  $E_{\gamma}$ !

$L_{\text{longitudinal}}$

Für elektromagnetische Schauer ist also eine kleine, von  $E_{\gamma(\text{e}^{\pm})}$  unabhängige transversale Ausdehnung und eine von  $\ln(E_{\gamma(\text{e}^{\pm})})$  abhängige longitudinale Ausdehnung charakteristisch. Auch die Anzahl der erzeugten Schauerteilchen ist ein Maß (das Maß) für  $E_{\gamma(\text{e}^{\pm})}$ ; sie ist proportional zu  $E_{\gamma(\text{e}^{\pm})}$ .